

621.365: 669.046.587.4: 669.046.512

(186) 電圧-電流波形からみた ESR 溶解現象

名工試 ○加藤 誠
名大工 井上道雄、小島 康、豊田剛治

1. まえがき

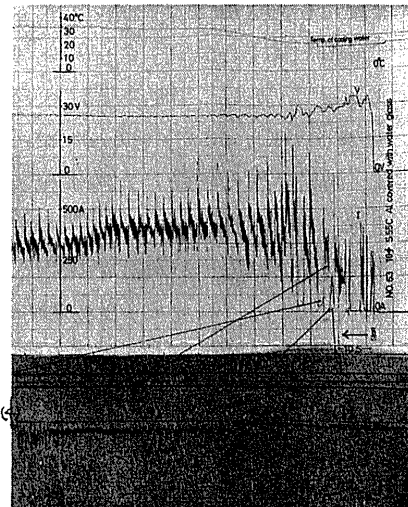
ESR Process における電極材の溶解がスラグ抵抗のジュール熱によるものかあるいはアーク放電のエネルギーによるものかは争点の一であるが、溶解時の精鍛反応あるいは物質移動を考察する場合には溶解構造に関する知見が要求される。そこで ESR 溶解時における電極間の電圧、電流変化を記録することにより溶解現象を考えてみた。

2. 実験

DC ESR に関しては、シリコン整流器(30V, 1000A max.)を電源に使用し、 $10\text{mm}\phi \times 550\text{mm}$ 鉄電極を、 $\sim 25\text{mm}\phi \times 200\text{mm}$ 水冷銅鋳型中で、 $\text{CaF}_2(80)-\text{Al}_2\text{O}_3(20)$ スラグ 40g を用いて電極送り速度約 10 cm/min. で ESR 溶解し、電圧、電流を多ペン記録計および電磁オッショログラフで記録した。AC ESR に関しては、交流アーク溶接用電源(250A max.)を用い、 $5\text{mm}\phi \times 400\text{mm}$ 鉄電極を上記鋳型中で同一路線を用いて溶解し、電磁オッショログラフにより、電圧、電流波形を記録した。

3. 結果

写真 1 によれば記録紙上、電圧と電流はよく対応した変化が示されるが、電流変化がより銭敏に記録されているので、以下電流波形について検討する。極間短絡によるスパークで溶解は始動し、放電をくり返しに後、アークを伴う定常的な溶解状態を示すようになる。オッショログラフでみれば、(1)期の放電が止って(2)状態となり、下降した電極の短絡により放電が開始して(3)状態が持続し、電極先端の溶落により再び放電が停止して(4)状態を示す。すなわち(1),(3)期はアーク放電時の電流変化を示し、(2),(4)期はスラグの純抵抗分を通ずる電流を示す。写真 1、記録紙およびオッショロ



ここでは 50~60A である。 グラフの例(S55C(-)極性, $\text{CaF}_2(80)-\text{Al}_2\text{O}_3(20)$ 40g)

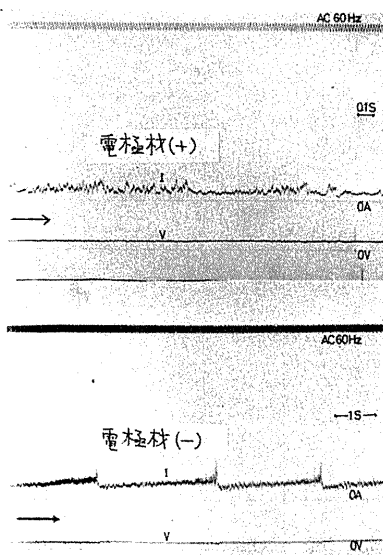


写真 2. 定常溶解時におけるオッショログラフの例

写真 2 によれば、電極材(-)極性では、アーカー放電を伴う電流増加-短絡ピークという周期的变化を示し、電極先端での滴の成長および電極下降による電流増加が、滴がメタル・プールへ短絡的に移行することによる電流ピークで終ると推察される。したがって電極先端部に成長した滴の重力が界面張力および電磁力に打勝つ離脱する瞬間に、滴はメタル・プールに近接していることになり、こうした位置関係を満足するような電極送り速度で溶解が定常化していくことになる。一方電極材(+)-極性では、短絡ピークに至る周期が不定期でかつ短く、電流波形も変化が激しい。これは電極溶融面および滴表面での CO 発生に原因すると考えられる。電流ピークが滴の短絡移行に対応すると考え、短絡ピーク数をインゴット重量から求めた滴の平均直径は、(+)極性で 6~7mm、(-)極性で 8~9mm であった。AC ESR においても電圧、電流波形はアーカー放電波形を示し、アーカー溶接波形と類似する。